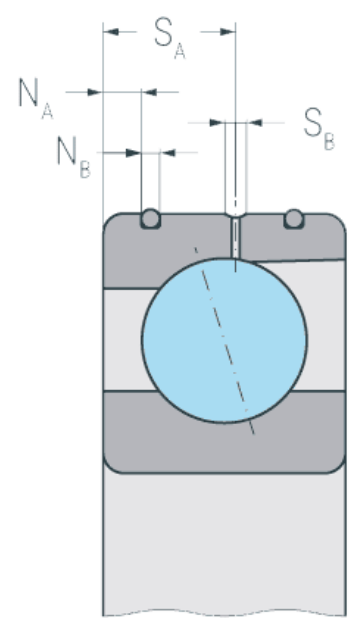
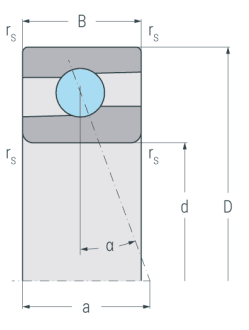
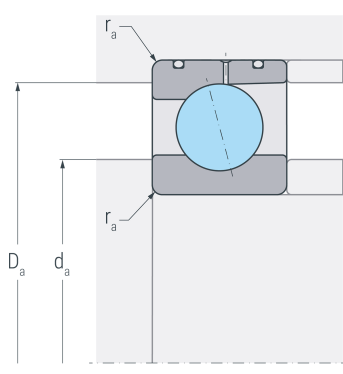
HS71916C.DLR.T.P4S

Hochgeschwindigkeits-Spindellager, angestellt, paar- oder satzweise, Druckwinkel 15°, eine Schmierrille mit zwei Schmierbohrungen, zwei Ringnuten mit O-Ringen, Hartgewebekäfig, eingeengte Toleranzen, Ringe und Wälzkörper aus Qualitätswälzlagerstahl







Abmessungen

d	(mm)	80	Bohrungsdurchmesser
D	(mm)	110	Außendurchmesser
В	(mm)	16	Breite
а	(mm)	21	Stützweite
r _{s min}	(mm)	1	minimaler Kantenabstand

Druckwinkel

α (°)	15 Druckwinkel
-------	----------------

DLR-Abmessung

$N_{\scriptscriptstyle B}$	(mm)	1.8	Breite der Nut
N_{A}	(mm)	3.1	Abstand der Nut
S _B	(mm)	1.6	Breite der Schmierrille
S _A	(mm)	9.3	Abstand der Schmierrille

Anschlussmaße

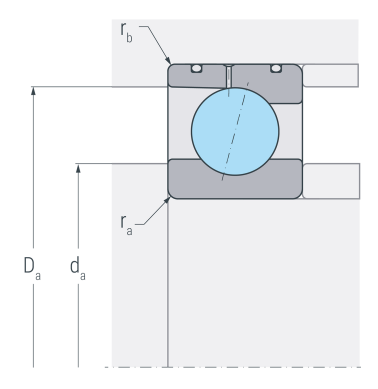
r _{a max}	(mm)	0.6	maximaler Rundungsradius	
D _a H12	(mm)	104	Durchmesser der Gehäuseschulter	
d _a h12	(mm)	00	86 Durchmesser der Wellenschulter	

Gewicht

|--|

HS71916C.DLR.T.P4S

Hochgeschwindigkeits-Spindellager, angestellt, paar- oder satzweise, Druckwinkel 15°, eine Schmierrille mit zwei Schmierbohrungen, zwei Ringnuten mit O-Ringen, Hartgewebekäfig, eingeengte Toleranzen, Ringe und Wälzkörper aus Qualitätswälzlagerstahl



Le	isti	ına	sda	aten
	1126	инч	201	ACCII

C _r	(kN)	21.1	dynamische Tragzahl, radial	
Cor	(kN)	15.5	statische Tragzahl, radial	
C _{ur}	(kN)	0.784	Ermüdungsgrenzbelastung, radial	
n _{g oil}	(min ⁻¹)	26000	Grenzdrehzahl, Ölschmierung	
F _{VL}	(N)	73	Vorspannkraft, leicht	
F _{v M}	(N)	219	Vorspannkraft, mittel	
F _{vs}	(N)	438	Vorspannkraft, schwer	
C _{a L}	(N/μm)	53	axiale Steifigkeit, leicht	
C _{a M}	(N/μm)	83	axiale Steifigkeit, mittel	
C _{a S}	(N/μm)	113	axiale Steifigkeit, schwer	
K _{aE L}	(N)	217	Abhebekraft, leicht	
K _{aE M}	(N)	679	Abhebekraft, mittel	
K _{aE S}	(N)	1425	Abhebekraft, schwer	